

Cu-Zn Metal Fiber를 이용한 배관 스케일 방지에 관한 연구

이상호 · 김종화 · 송주영[†]

창원대학교 공과대학 화공시스템공학과
(2010년 2월 22일 접수 ; 2010년 3월 17일 채택)

A Study of Prevention of Pipe Scale with Cu-Zn Metal Fiber

Sang-Ho Lee · Jong-Hwa Kim · Ju-Yeong Song[†]

Department of Chemical Engineering, Changwon National University,
Changwon, Gyeongnam, 641-773, Korea

(Received February 22, 2010 ; Accepted March 17, 2010)

Abstract : Scale generation in the inside of a pipe is restricted by reduction and oxidation(REDOX) reaction of alloyed metal of Cu-Zn. To measure the scale generating rate in the 1.67 mm of inside diameter of stainless steel tube, 300 ppm of CaCO₃ solution is circulated in the REDOX reactor and stainless steel tube in the order. In the case of CaCO₃ solution treated by REDOX reactor, flowing is maintained without plugging in the stainless steel tube, and the concentration of Cu and Zn in the circulating solution showed less than 1 ppm, which is equal to that of untreated by REDOX reactor. The crystal type of CaCO₃ generated by crystalline nucleus of Cu or Zn, mostly showed aragonite type.

Keywords : metal alloy, scale, water treatment, reduction and oxidation

1. 서 론

경수(hard water)를 사용하는 열교환기에서 가장 많이 발생하는 파울링(precipitation fouling)은 탄산칼슘(CaCO₃ 석회석)이다. 경수에는 과포화 된 상태의 미네랄이온들이 녹아 있기 때문에 불안정한 상태로 존재한다. 이러한 경수는 온도가 높아짐에 따라 이온들의 용해도는 낮아지며, 이온들이 결정화되어 전기적인 결

합력에 의해 석출되고 이러한 스케일이 관벽에 부착하고 결정으로 성장하여 스케일 scaling 혹은 침전 파울링이 되며 이를 통상 파울링이라 한다.^[1~3]

열교환기 표면의 파울링은 궁극적으로 총 합열전달계수를 작게 한다. 경수에서 발생하는 석회석의 경우 열전달계수는 약 0.8 W/mK인 반면, 카본스틸(carbon steel)은 약 90 W/mK이다.^[4] 일반적인 주거용 건물이나 소규모의 상업용 난방장치의 연료소비량 중 약 10%가 파울링으로 인해 손실되며, 열교환기용 관은 파울링으로 인한 열전달 성능의 감소로 3년 또는 5년

[†]주저자 (E-mail : jusong@changwon.ac.kr)

주기로 관의 교체가 필요하고 효율감소에 따른 열손실은 매년 15% 정도 증가하여 5년이 지나면 약 70%의 열손실이 파울링 때문에 발생한다. 따라서 파울링을 효과적으로 제거한다면 그 경제적 이득이 매우 클 것이다.^[5~7]

본 연구의 목적은 Cu-Zn metal fiber를 이용하여 배관내의 스케일 발생 및 스케일 발생 방해 메커니즘을 규명하고자 한다.

2. 이 론

배관내의 스케일은 레피도크로사이트 (Lepidocrocite)와 침철석(Goethite), 적철석 (Hematite), 자철석(Magnete)과 같은 철 산화물 수산화광물로 구성되어 있다. 초기에 생성되는 광물은 레피도크로사이트나 침철석이며 이를 철 광물을 결합시켜 주는 것은 방해석과 자페아이트이다. 레피도크로사이트나 침철석은 수도 배관자체의 산화작용에 의해 형성이 되며 시간이 지남에 따라 자철석으로 변해 오래된 배관일수록 자철석의 비율이 높아지게 된다. 결합을 시키는 탄산칼슘의 형성을 Cu-Zn metal fiber를 이용하여 방지함으로써 배관스케일의 형성을 방지한다. Cu-Zn metal fiber에서 일어나는 스케일 방지는 Cu-Zn metal fiber의 Cu 및 Zn의 아래의 반응(1)과 같은 산화반응에 의해 Cu-Zn metal fiber 주위 및 용액의 액성이 알칼리성으로 유지하게 되어 탄산이온의 일반적인 형태가 아래 반응 (2)와 같은 반응에 의해 CO_3^{2-} 의 형태로 존재하게 된다. 탄산칼슘의 결정성장에서는 수월하게 된다.^[9]

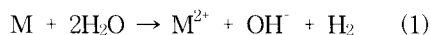


Table 1에서 Cu(OH)_2 , Zn(OH)_2 의 용해도곱 상수가 각각 19.3, 17.2의 값으로 CaCO_3 의 calcite와 aragonite 8.34, 8.22 보다 크므로 이 질핵의 생성이 유리하게 된다.

Table 1. Solubility product constant(25°C)

Solid	pK _{so}	Solid	pK _{so}
Fe(OH)_2	14.5	Cu(OH)_2	19.3
Al(OH)_3	33	MgCO_3	5.0
CaCO_3 (calcite)	8.34	Mg(OH)_2	10.7
CaCO_3 (aragonite)	8.22	Mn(OH)_2	12.8
CaSO_4	4.59	Zn(OH)_2	17.2
		$\text{CaMg(CO}_3)_2$ (dolomite)	16.7

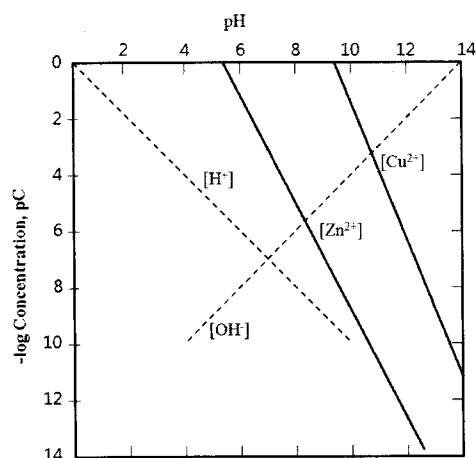


Fig. 1. The pC-pH diagram for Cu^{2+} in equilibrium with $\text{Cu(OH)}_{2(s)}$ and Zn^{2+} in equilibrium with $\text{Zn(OH)}_{2(s)}$ at 25°C.

Figure 1은 Cu^{2+} 와 Zn^{2+} 의 pC-pH 선도를 나타낸 것이다. Cu-Zn metal fiber의 산화환원에 의해 생성된 Cu^{2+} 와 Zn^{2+} 는 염기성분위기에서는 쉽게 결정을 형성되는 것을 볼 수 있다.^[10] 형성된 결정은 용액 내 칼슘이온과 탄산이온이 쉽게 결정을 생성, 성장하게 한다. 이렇게 생성된 탄산칼슘 결정들은 배관 벽에서의 핵의 생성 및 결정의 성장을 방해함으로써 배관 벽 및 열교환기 내부에서의 스케일 형성을 억제하게 된다.^[11]

3. 실험

본 실험에 사용된 금속은 Cu-Zn metal fiber로서 평균 직경이 50 μm 로 된 구리와 아연의 합금섬유이다.

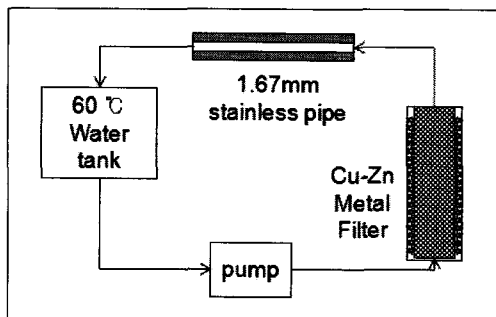


Fig. 2. Schematic diagram of apparatus for scale reduction and prevention.

3.1 Cu-Zn metal fiber 필터에 의한 스케일 방지 및 용액의 변화 시험

Cu-Zn metal fiber의 배관에서의 스케일 방지를 시험하기 위해 Figure 2와 같은 시험 장비를 준비하고, 하나의 장치에는 Cu-Zn metal fiber 2 g을 이용하여 100 cm^3 부피의 필터를 설치하여 순환펌프를 이용하여 순환시키고, 다른 하나의 장치는 Cu-Zn metal fiber 반응기를 설치하지 않고 heat pipe(GUM UNG, Korea, 2Kw)를 이용하여 항온조의 온도를 60°C를 유지하고 순환펌프를 이용하여 3.6 L/min의 유량으로 순환시키며 실험하였다. 실험에 사용 된 배관은 stainless pipe, 내경 1.67mm 파이프로 길이가 1m로 제작하여 용기 내에 설치하였다. 순환되는 액은 Na_2CO_3 (Duksan chemical, Korea)와 CaCl_2 (Duksan chemical, Korea)를 이용하여 300 mg/L CaCO_3 를 제조하여 순환시켰으며, 증발에 의해 액이 감소하였을 때 Na_2CO_3 (Duksan chemical, Korea)와 CaCl_2 (Duksan chemical, Korea)를 이용하여 300 mg/L CaCO_3 를 제조된 용액을 보충하여 실험 하였다.

2.3 분석방법

Cu-Zn metal fiber에 의한 배관 내의 스케일 방지 실험에서 구리와 아연의 항온조 내 용출을 확인하기 위해 수질오염공정시험법의 원자흡광 광도법을 이용하여 원자흡광 광도계(AAS

6701F, Shimadzu Co., Japan)로 분석하였으며, 항온조의 pH측정은 pH 측정기(713 pH Meter, Metrohm)을 이용하여 측정 하였다. 스케일의 발생정도는 전자현미경(JSM-5610, JEOL)을 이용하여 결정 형성 및 용액의 결정 입도를 확인하였다.

4. 결과 및 고찰

4.1 Cu-Zn metal fiber 필터에 의한 스케일 방지 및 용액의 변화 시험

Cu-Zn metal fiber의 배관에서의 스케일 방지를 시험하기 위해 Figure 2와 같은 시험 장치를 준비하여 실험하였다.

Figure 3과 Figure 4는 유량 및 pH의 변화를 나타낸 것으로 Figure 3에서 유량은 Cu-Zn metal fiber로 처리하지 않은 1.67 mm stainless pipe 배관은 일주일 동안 서서히 유량이 감소하다 7 일 경에 유량이 사라졌다. 이것은 발생한 탄산칼슘 스케일이 1.67 mm 배관을 막아 유량이 감소한 것으로 사료된다. 그러나 Cu-Zn metal fiber를 통과한 300 mg/L 탄산칼슘용액은 유량의 감소 없이 90 일 동안 유량이 그대로 유지되었다.

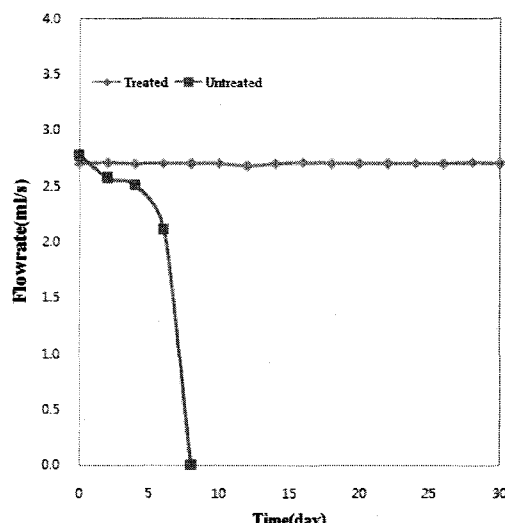


Fig. 3. Change of flowrate in the presence of Cu-Zn metal fiber.

Figure 4에서는 Cu-Zn metal fiber를 설치한

실험과 설치하지 않은 실험의 pH 변화를 보였다. Cu-Zn metal fiber를 설치한 실험과 설치하지 않은 실험 모두 알카리성 영역인 pH 8 부근에서 평형이 유지됨을 확인할 수 있다. 이러한 알칼리성 용액의 상태는 탄산이온이 대부분 CO_3^{2-} 로 존재하여 탄산칼슘결정의 생성이 용이하게 된다.

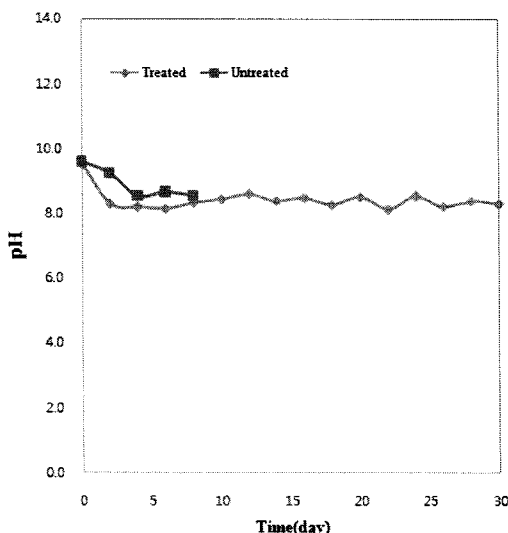


Fig. 4. Change of pH in the presence of Cu-Zn metal fiber.

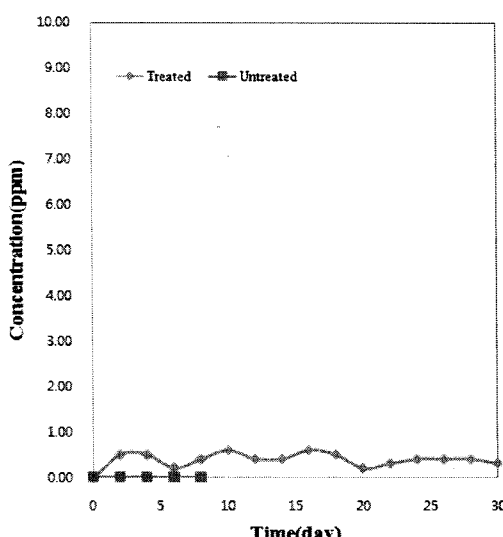


Fig. 5. Change of Copper ion in the presence of Cu-Zn metal fiber.

Figure 5와 Figure 6은 항온조 내의 구리이온과 아연이온의 변화를 분석한 결과이다. 항온조 내에서 구리이온은 평균 0.4 mg/L의 농도를 나타내었고, 아연이온도 Cu-Zn metal fiber로 처리한 항온조와 처리하지 않은 항온조의 아연이온의 변화도 크게 않게 나타나고 있는 것으로 보아 Cu-Zn metal fiber를 처리하여도 용액의 액성에 큰 영향을 주는 구리와 아연이온의 과다한 용출은 일어나지 않는 것으로 생각된다.

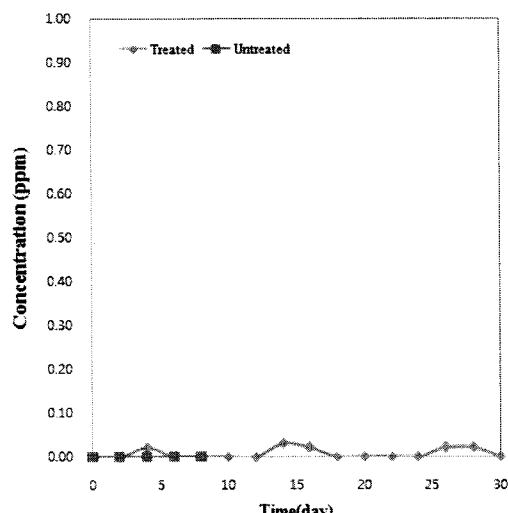


Fig. 6. Change of zinc ion in the presence of Cu-Zn metal fiber.

Figure 7은 Cu-Zn metal fiber로 처리된 항온조와 Cu-Zn metal fiber로 처리되지 않은 항온조의 탄산칼슘 결정으로 Cu-Zn metal fiber로 처리된 항온조의 탄산칼슘 결정은 뚜렷한 aragonite 형태를 나타내고 있는 것을 확인할 수 있으며 Cu-Zn metal fiber를 처리하지 않은 항온조의 탄산칼슘 결정은 aragonite와 calcite의 형태를 같이 갖고 있는 것을 확인 할 수 있다.

Figure 8과 Figure 9는 EDX분석을 통한 항온조에서 형성된 탄산칼슘결정을 분석한 것으로 Cu-Zn metal fiber를 처리한 항온조의 탄산칼슘 결정에서는 아연이온이 나타나는 것을 확인 할 수 있다. 이것으로 아연이온이 Cu-Zn metal fiber를 처리한 항온조에서 탄산칼슘결정의 생성과 성장에 영향을 미침을 확인할 수 있다.

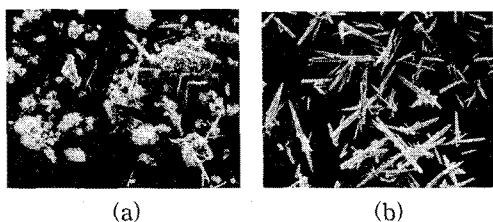


Fig. 7. SEM images of calcium carbonate untreated (A) and treated (B) by Cu-Zn metal fiber.

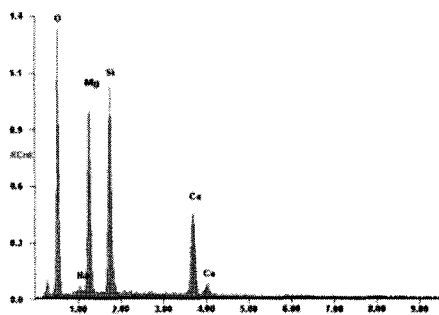


Fig. 8. EDX analysis of Cu-Zn metal fiber treated calcium carbonate.

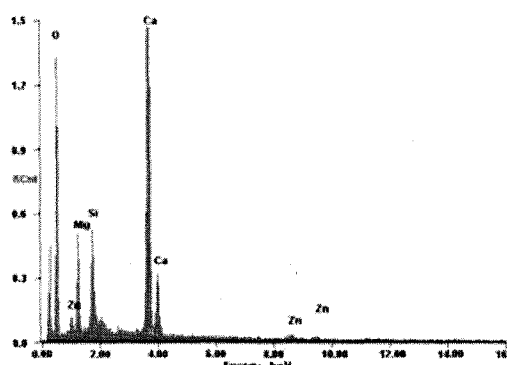


Fig. 9. EDX analysis of Cu-Zn metal fiber untreated calcium carbonate.

5. 결 론

Cu-Zn metal fiber를 이용한 스케일 방지 실험에서 Cu-Zn metal fiber에 의한 스케일 생성 억제 효과를 확인할 수 있었으며 아래와 같은 결론을 얻을 수 있었다.

- 1) Cu-Zn metal fiber를 처리한 1.67mm 념

304 파이프는 Cu-Zn metal fiber를 처리하지 않은 pipe에 비해 12배 시간 동안 안정된 유량을 나타내었다.

- 2) Cu-Zn metal fiber를 처리한 항온조의 pH는 알칼리성 영역인 pH 8을 유지하였다.
- 3) Cu-Zn metal fiber를 처리한 항온조에서 구리이온 및 아연이온의 농도는 처리하지 않은 항온조와 비교하여 큰 변화가 없는 것으로 나타났다.
- 4) Cu-Zn metal fiber 처리 된 항온조의 결정성장은 aragonite 형태를 나타내었다.

위와 같은 결과로 구리합금섬유 처리를 통한 스케일 발생 억제의 가능성을 확인할 수 있었다.

감사의 글

이 논문은 2009년도 창원대학교 연구교수 연구비에 의하여 연구되었음.

참고문헌

1. S. J. Song, D. H. Lee, H. D. Lee and C. H. Bae, A Study of the Guided Wave Propagation in the Water Supplying Pipes with Scale, *J. Kor. Soc. Test.*, 23(1), 1 (2003).
2. J. J. Kim, Y. Y. Kim, H. S. Kim and Y. D. Jang, Removal and Restraint Effects by Mg Metal on Scale in Water Pipe, *J. Min. Soc. of Korea*, 19(2), 111 (2006).
3. P. Sarin, V. L. Snoeyink, J. Bebee, W. M. Kriven, Physico-chemical characteristics of corrosion scales in old iron pipes, *Wat. Res.*, 35(12), 2961 (2001).
4. J. J. Kim and Y. Y. Kim, Mineralogical Characteristics and Zinc Effects on Scale in the Water pipe, *J. Kor. Soc. Wat. and Wast.*, 16(3), 284(2002).
5. J. J. Kim, Y. Y. Kim and S. J. Jang, Environmental Mineralogy on the Mg effects of Chiller precipitates, *J. Miner. Soc. Korea*, 18(2) (2002).

6. H. S. Kim, S. H. Lee, J. H. Kim, K. H. Park, J. Y. Song, A Study on the Antimicrobial Activity of *Microcystis aeruginosa* by Redox Reaction of Cu-Zn Alloy Metal Fiber, *J. of Korean Oil Chemists' Soc.*, 25(2), 168 (2008).
7. S. H. Lee, J. H. Kim, J. Y. Song, A study on the Antimicrobial Activity of Copper alloy metal fiber on water Soluble Metal Working Fluids, *J. of Korean Oil Chemists' Soc.*, 26(1), 233 (2009).
8. T. Tan, Y. Chen and H.Chen, A diffusion controlling duplex-layer oxidation model with scale removal in oxygen containing liquid metal flow, *Comput. Mat. Sci.*, 44(2), 750 (2008).
9. L. Vernon and D. Jenkins, Water Chemistry, Donghwa technology publishing company, 254 (1980).
10. S. H. Lee, K. H. Park, J. Y. Song, A study on the Antimicrobial Activity of Copper alloy metal fiber on water Soluble Metal Working Fluids, *J. of Korean Oil Chemists' Soc.*, 24(3), 233 (2007).
11. C. Gabrielli, Jaouhari, R., Maurin, G., Magnetic water treatment for scale prevention, *Wat. Res.*, 35(13), 3249 (2001).
12. U. J. Yang, "Water Chemistry", Korea, Donghwa technology publishing company, 200 (2004).